

DETECTION OF E6/E7 mRNA FROM CaSki CELLS

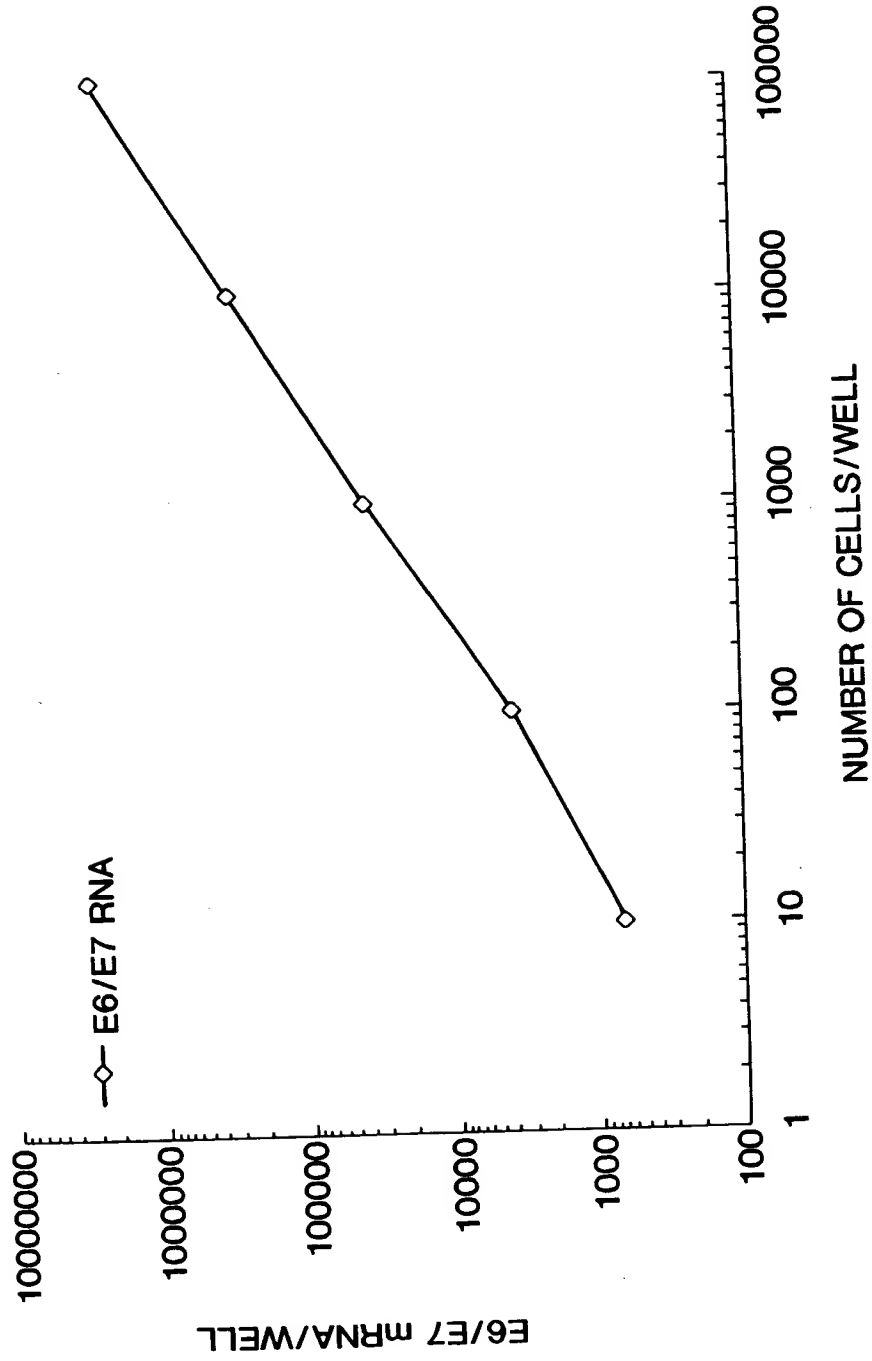


FIG. 1

ANALYTICAL SENSITIVITY OF HPV L1 RNA ASSAY

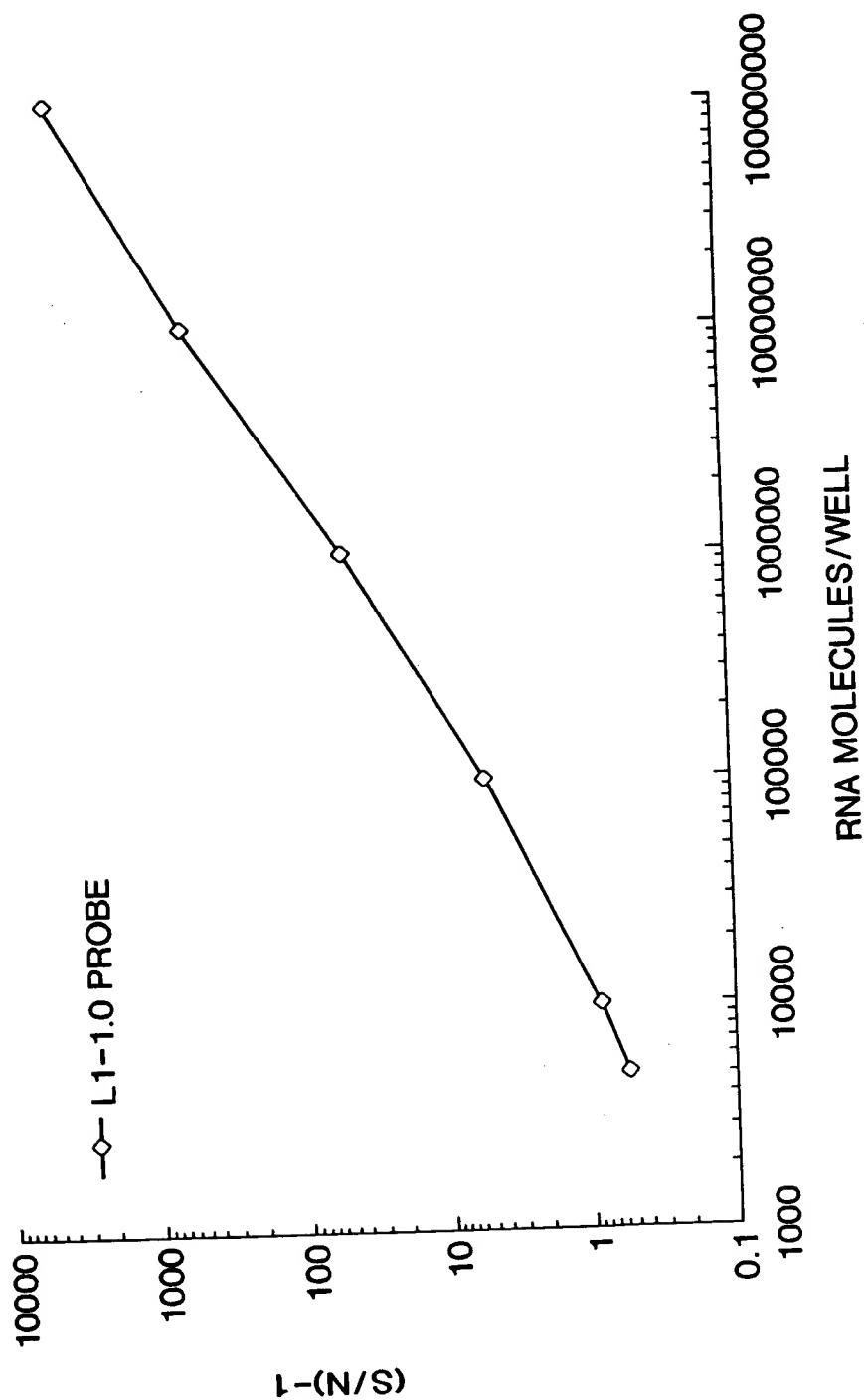


FIG. 2

L2-HPV16

TTGTTGTATACCATAACTTACTATTTTTCTTTTTATTTTCATATATAATTTTTTTTTT
TGTTTGTTGTTTGTTTTAAATAAACTGTTACTTAACAATGCGACACAAACGTTCT
GCAAAACGCACAAACGTGCATCGGCTACCCAACCTTTATAAAACATGCAAAACAGGCAGGT
ACATGTCCACCTGACATTATACCTAAGGTTGAAGGCAAACTATTGCTGAACAAATATTA
CAATATGGAAGTATGGGTGTATTTTTTGGTGGGTTAGGAATTGGAACAGGGTCGGGTACA
GGCGGACGCACTGGGTATATTCCATTGGGAACAAGGCCCTCCACAGCTACAGATACACTT
GCTCCTGTAAGACCCCTTTAACAGTAGATCCTGTGGGCCCTTCTGATCCTTCTATAGTT
TCTTTAGTGGAAGAACTAGTTTTATTGATGCTGGTGCACCAACATCTGTACCTTCCATT
CCCCCAGATGTATCAGGATTTAGTATTACTACTTCAACTGATACCACACCTGCTATATTA
GATATTAATAATACTGTTACTACTGTTACTACATAATAATCCCACTTTCCTGACCCA
TCTGTATTGCAGCCTCCAACACCTGCAGAACTGGAGGGCATTTTACACTTTCATCATCC
ACTATTAGTACACATAATTATGAAGAAATTCCTATGGATACATTTATTGTTAGCACAAAC
CCTAACACAGTAACTAGTAGCACACCCATACCAGGGTCTCGCCCACTGGGCACGCCTAGGA
TTATATAGTCGCACAACACAACAGGTTAAAGTTGTAGACCCTGCTTTTGTAACCACTCCC
ACTAACTTATTACATATGATAATCCTGCATATGAAGGTATAGATGTGGATAATACATTA
TATTTTTCTAGTAATGATAATAGTATTAATATAGCTCCAGATCCTGACTTTTTTGGATATA
GTTGCTTTACATAGGCCAGCATTAACTCTAGGCGTACTGGCATTAGGTACAGTAGAATT
GGTAATAAACAAACACTACGTACTCGTAGTGGAATCTATAGGTGCTAAGGTACATTAT
TATTATGATTTAAGTACTATTGATCCTGCAGAAGAAATAGAATTACAACTATAACACCT
TCTACATATACTACCACTTCACATGCAGCCTCACCTACTTCTATTAATAATGGATTATAT
GATATTTATGCAGATGACTTTATTACAGATACTTCTACAACCCCGGTACCATCTGTACCC
TCTACATCTTTATCAGGTTATATTCTGCAATAACAATTCCTTTTGGTGGTGCATAC
AATATTCCTTTAGTATCAGGTCCTGATATACCCATTAATATAACTGACCAAGCTCCTTCA
TTAATTCCTA

Fig. 3

L1-HPV16

GAGGCCACTGTCTACTTGCCCTCCTGTCCCAGTATCTAAGGTTGTAAGCACGGATGAATAT
 GTTGACGCACAAACATATATTATCATGCAGGAACATCCAGACTACTTGACAGTTGGACAT
 CCCTATTTTCCTATTAAAAACCTAACAAATAACAAAATATTAGTTCCTAAAGTATCAGGA
 TTACAATACAGGGTATTTAGAATACATTTACCTGACCCCAATAAGTTTGGTTTTCTGAC
 ACCTCATTTTATAATCCAGATACACAGCGGCTGGTTTGGGCCTGTGTAGGTGTTGAGGTA
 GGTGCTGGTCAGCCATTAGGTGTGGGCATTAGTGGCCATCCTTTATTAAATAAATTGGAT
 GACACAGAAAATGCTAGTGCTTATGCAGCAAATGCAGGTGTGGATAATAGAGAATGTATA
 TCTATGGATTACAAACAAACACAATTGTGTTTAAATTGGTTGCAAACCACCTATAGGGGAA
 CACTGGGGCAAAGGATCCCATGTACCAATGTTGCAGTAAATCCAGGTGATTGTCCACCA
 TTAGAGTTAATAAACACAGTTATTTCAGGATGGTGATATGGTTCATACTGGCTTTGGTGCT
 ATGGACTTTACTACATTACAGGCTAACAAAAGTGAAGTTCCACTGGATATTTGTACATCT
 ATTTGCAAATATCCAGATTATATTAATGGTGTCAGAACCATATGGCGACAGCTTATTT
 TTTTATTTACGAAGGGAACAAATGTTTGTAGACATTTATTTAATAGGGCTGGTACTGTT
 GGTGAAAATGTACCAGACGATTTATACATTAAAGGCTCTGGGTCTACTGCAAATTTAGCC
 AGTTCAAATTATTTTCCTACACCTAGTGTTCTATGGTTACCTCTGATGCCCCAATATTC
 AATAAACCTTATTGGTTACAACGAGCACAGGGCCACAATAATGGCATTTGTTGGGGTAAC
 CAACTATTTGTTACTGTTGTTGATACTACACGCAGTACAAATATGTCATTATGTGCTGCC
 ATATCTACTTCAGAACTACATATAAAAATACTAACTTTAAGGAGTACCTACGACATGGG
 GAGGAATATGATTTACAGTTTATTTTTCAACTGTGCAAAATAACCTTAACTGCAGACGTT
 ATGACATACATACATTCTATGAATTCCACTATTTTGGAGGACTGGAATTTTGGTCTACAA
 CCTCCCCCAGGAGGCACACTAGAAGATACTTATAGGTTTGTAACCCAGGCAATTGCTTGT
 CAAAAACATACACCTCCAGCACCTAAAGAAGATGATCCCCTTAAAAAATACACTTTTGG
 GAAGTAAATTTAAAGGAAAAGTTTTCTGCAGACCTAGATCAGTTTCCTTTAGGACGCAAA
 TTTTACTACAAGCAGGATTGAAGGCCAAACCAAAATTTACATTAGGAAAACGAAAAGCT
 ACACCCACCACCTCATCTACCTCTACAACCTGCTAAACGCAAAA

Fig. 4

T04007-2402660

E6/E7-HPV16

ACATTTTATGCACCAAAGAGAACTGCAATGTTTCAGGACCCACAGGAGCGACCCAGAAA
GTTACCACAGTTATGCACAGAGCTGCAAACAACTATACATGATATAATATTAGAATGTGT
GTACTGCAAGCAACAGTTACTGCGACGTGAGGTATATGACTTTGCTTTTCGGGATTTATG
CATAGTATATAGAGATGGGAATCCATATGCTGTATGTGATAAATGTTTAAAGTTTTATT
TAAAATTAGTGAGTATAGACATTATTGTTATAGTTTGTATGGAACAACATTAGAACAGCA
ATACAACAAACCGTTGTGTGATTTGTTAATTAGGTGTATTAAGTGTCAAAGCCACTGTG
TCCTGAAGAAAAGCAAAGACATCTGGACAAAAGCAAAGATTCCATAATATAAGGGGTCTG
GTGGACCGGTCGATGTATGTCTTGTTGCAGATCATCAAGAACACGTAGAGAAACCCAGCT
GTAATCATGCATGGAGATACACCTACATTGCATGAATATATGTTAGATTTGCAACCAGAG
ACAACTGATCTCTACTGTTATGAGCAATTAAATGACAGCTCAGAGGAGGAGGATGAAATA
GATGGTCCAGCTGGACAAGCAGAACCGGACAGAGCCCATTACAATATTGTAACCTTTTGT
TGCAAGTGTGACTCTACGCTTCGGTTGTGCGTACAAAGCACACACGTAGACATTTCGTACT
TTGGAAGACCTGTTAATGGGCACACTAGGAATTGTGTGCCCCATCTGTTCTCAGAAACC

Fig. 5

T04007 2404660

E-2 HPV16

GAGGACGAGGACAAGGAAAACGATGGAGACTCTTTGCCAACGTTTAAATGTGTGTCAGGA
CAAAATACTAACACATTATGAAAATGATAGTACAGACCTACGTGACCATATAGACTATTG
GAAACACATGCGCCTAGAATGTGCTATTTATTACAAGGCCAGAGAAATGGGATTTAAACA
TATTAACCACCAAGTGGTGCCAACACTGGCTGTATCAAAGAATAAAGCATTACAAGCAAT
TGAAGTGCACCTAACGTTAGAAACAATATATACTCACAATATAGTAATGAAAAGTGGAC
ATTACAAGACGTTAGCCTTGAAGTGTATTTAACTGCACCAACAGGATGTATAAAAAACA
TGGATATACAGTGGAAAGTGCAGTTTGATGGAGACATATGCAATACAATGCATTATACAAA
CTGGACACATATATATATTTGTGAAGAAGCATCAGTAACTGTGGTAGAGGGTCAAGTTGA
CTATTATGGTTTATATTATGTTTCATGAAGGAATACGAACATATTTTGTGCAGTTTAAAGA
TGATGCAGAAAAATATAGTAAAAATAAAGTATGGGAAGTTCATGCGGGTGGTCAGGTAAT
ATTATGTCCTACATCTGTGTTTAGCAGCAACGAAGTATCCTCTCCTGAAATTATTAGGCA
GCACTTGGCCAACCACCCCGCCGCGACCCATACCAAAGCCGTGCGCCTTGGGCACCGAAGA
AACACAGACGACTATCCAGCGACCAAGATCAGAGCCAGACACCGGAAACCCCTGCCACAC
CACTAAGTTGTTGCACAGAGACTCAGTGGACAGTGCTCCAATCCTCACTGCATTTAACAG
CTCACACAAAGGACGGATTAACTGTAATAGTAACACTACACCCATAGTACATTTAAAAGG
TGATGCTAATACTTTAAAATGTTTAAAGATATAGATTTAAAAGCATTGTACATTGTATAC
TGCAGTGTGCTCTACATGGCATTGGACAGGACATAATGTAAACATAAAAGTGCAATTGT
TACACTTACATATGATAGTGAATGGCAACGTGACCAATTTTGTCTCAAGTTAAAATACC
AAAACTATTACAGTGTCTACTGGATTTATGTC

Fig. 6

T0400T-2402550

E4-HPV16

CTACATCTGTGTTTAGCAGCAACGAAGTATCCTCTCCTGAAATTATTAGGCAGCACTTGG
CCAACCACCCCGCCGCGACCCATACCAAAGCCGTCGCCTTGGGCACCGAAGAAACACAGA
CGACTATCCAGCGACCAAGATCAGAGCCAGACACCGGAAACCCCTGCCACACCACTAAGT
TGTTGCACAGAGACTCAGTGGACAGTGCTCCAATCCTCACTGCATTTAACAGCTCACACA
AAGGACGGATTAACTGTAATAG

Fig. 7

FOUO "240450"